

### 3. Lineare Finite Elemente am Beispiel des Poisson- Problems

Modellproblem: Poisson-Gleichung aus 2.1

$$\begin{cases} -\Delta u = f & \text{in } \Omega \subseteq \mathbb{R}^2 \quad (d=2) \\ u = 0 & \text{auf } \Gamma \end{cases}$$

Variationale Formulierung: Finde  $u \in H_0^1(\Omega)$  mit

$$a(u, v) = l(v) \quad \forall v \in H_0^1(\Omega)$$

wobei

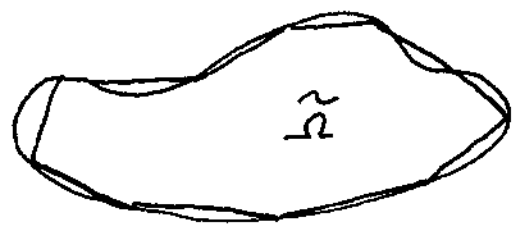
$$a(u, v) = \int_{\Omega} \partial_x u(x, y) \cdot \partial_x v(x, y) + \partial_y u(x, y) \cdot \partial_y v(x, y) \, d(x, y)$$

$$l(v) = \int_{\Omega} f(x, y) v(x, y) \, d(x, y)$$

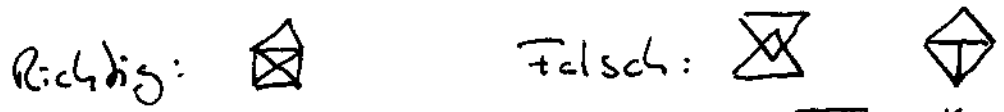
(Schreibe jetzt  $(x, y)$  anstelle von  $(x_1, x_2)$ )

### (a) Triangulierung

Approximiere den Rand von  $\Omega$  durch ein Polygon mit innerem  $\tilde{\Omega}$ :



Unterteile  $\tilde{\Omega}$  in  $m \in \mathbb{N}$  Dreiecke. Die Ecken eines Dreiecks müssen auf den Ecken anderer Dreiecke liegen.



Bezeichnung:  $T_k$  k-tes Dreieck,  $\tilde{\Omega} = \bigcup_{k=1}^m T_k$   
 $P_i = (x_i, y_i)$  Ecken im  $\tilde{\Omega}$  (ohne Rand),  $i=1, \dots, N$

Algorithmen zur Erzeugung von Triangulierungen  $\rightarrow$  später

### (b) Basisfunktionen

Sei  $\varphi_i$  Hatfunktion, d.h.  $\varphi_i|_{T_k}$  ist linear und

$$\varphi_i(P_j) = \begin{cases} 1 & \text{falls } i=j \\ 0 & \text{sonst} \end{cases}$$



Wähle  $V_N = \text{span} \{ \varphi_1, \dots, \varphi_N \}$

Suche Lösung der Form  $u_N = \sum_{i=1}^N \hat{u}_i \varphi_i$

Es gilt  $u_N(P_j) = \sum_{i=1}^N \hat{u}_i \varphi_i(P_j) = \hat{u}_j$ .

Man kann zeigen, dass  $V_N \subseteq H^1(\tilde{\Omega})$ .

(c) Aufstellen des Gleichungssystems

Stabilitätsmatrix:

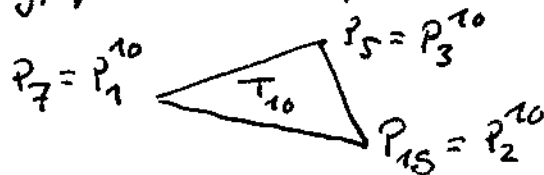
$$a(\varphi_i, \varphi_j) = \sum_{k=1}^m \underbrace{\int_{T_k} \partial_x \varphi_i(x,y) \cdot \partial_x \varphi_j(x,y) + \partial_y \varphi_i(x,y) \cdot \partial_y \varphi_j(x,y) \, d(x,y)}_{=: a_{T_k}(\varphi_i, \varphi_j)}$$

Es gilt  $a_{T_k}(\varphi_i, \varphi_j) = 0$  falls  $\varphi_i|_{T_k} \equiv 0$  oder  $\varphi_j|_{T_k} \equiv 0$ .

$\Rightarrow$  Die Stabilitätsmatrix ist dünn besetzt.

Betrachte nun ein einzelnes Dreieck  $T_k$  mit  $k \in \{1, \dots, m\}$ .

Verwende lokale Indizierung: Die drei Ecken von  $T_k$  seien  $P_i^k = (x_i^k, y_i^k)$  mit entsprechenden Basisfunktionen  $\varphi_i^k$  ( $i=1,2,3$ ).



Sei  $\varphi_i^k(x,y) = \alpha_i + \beta_i x + \gamma_i y$  für  $(x,y) \in T_k$ ,  $i=1,2,3$

Für alle  $\varphi_i^k(P_j^k) = \begin{cases} 1 & \text{falls } i=j \\ 0 & \text{sonst} \end{cases}$

$$\Leftrightarrow \alpha_i + \beta_i x_j^k + \gamma_i y_j^k = \begin{cases} 1 & \text{falls } i=j \\ 0 & \text{sonst} \end{cases}$$

$$\Leftrightarrow \begin{pmatrix} 1 & x_1^k & y_1^k \\ 1 & x_2^k & y_2^k \\ 1 & x_3^k & y_3^k \end{pmatrix} \begin{pmatrix} \alpha_1 & \alpha_2 & \alpha_3 \\ \beta_1 & \beta_2 & \beta_3 \\ \gamma_1 & \gamma_2 & \gamma_3 \end{pmatrix} = \begin{pmatrix} 1 & 0 & 0 \\ 0 & 1 & 0 \\ 0 & 0 & 1 \end{pmatrix} \quad (*)$$

$$\Leftrightarrow \begin{pmatrix} \alpha_1 & \alpha_2 & \alpha_3 \\ \beta_1 & \beta_2 & \beta_3 \\ \gamma_1 & \gamma_2 & \gamma_3 \end{pmatrix} = \begin{pmatrix} 1 & x_1^k & y_1^k \\ 1 & x_2^k & y_2^k \\ 1 & x_3^k & y_3^k \end{pmatrix}^{-1}$$

$$\partial_x \varphi_i^k(x, y) = \beta_i \quad \text{für } (x, y) \in T_k$$

$$\partial_y \varphi_i^k(x, y) = \gamma_i$$

$$\Rightarrow a_{T_k}(\varphi_i^k, \varphi_j^k) = \int_{T_k} \beta_i \beta_j + \gamma_i \gamma_j \, d(x, y) = |T_k| \cdot (\beta_i \beta_j + \gamma_i \gamma_j)$$

$$\text{mit } |T_k| = \frac{1}{2} \left| \det \begin{pmatrix} 1 & x_1^k & y_1^k \\ 1 & x_2^k & y_2^k \\ 1 & x_3^k & y_3^k \end{pmatrix} \right| \quad \text{Fläche von } T_k$$

Lastvektor:

$$l(\varphi_i) = \sum_{k=1}^m \underbrace{\int_{T_k} g(x, y) \varphi_i(x, y) \, d(x, y)}_{=: l_{T_k}(\varphi_i)}$$

Approximiere das Integral durch eine Quadraturformel:

$$\int_{T_k} g(x, y) \, d(x, y) \approx |T_k| \cdot g(x_*^k, y_*^k)$$

wobei  $x_*^k = \frac{1}{3}(x_1^k + x_2^k + x_3^k)$  und  $y_*^k = \frac{1}{3}(y_1^k + y_2^k + y_3^k)$  die Koordinaten des Schwerpunkts sind. Es gilt für  $\varphi_i|_{T_k} \neq 0$

$$\varphi_i(x_*^k, y_*^k) = \alpha_i + \beta_i x_*^k + \gamma_i y_*^k$$

$$= \left( \frac{1}{3}, \frac{1}{3}, \frac{1}{3} \right) \underbrace{\begin{pmatrix} 1 & x_1^k & y_1^k \\ 1 & x_2^k & y_2^k \\ 1 & x_3^k & y_3^k \end{pmatrix}}_{=: e_i \text{ wegen } (*)} \begin{pmatrix} \alpha_i \\ \beta_i \\ \gamma_i \end{pmatrix} = \frac{1}{3}$$

Approximiere also

$$l_{T_k}(\varphi_i) = \int_{T_k} f(x,y) \varphi_i(x,y) d(x,y) \approx |T_k| f(x_*^k, y_*^k) \cdot \frac{1}{3}$$

$$\Rightarrow l(\varphi_i) = \sum_{k=1}^m l_{T_k}(\varphi_i) \approx \frac{1}{3} \sum_{\substack{k=1 \\ P_i \in T_k}}^m |T_k| \cdot f(x_*^k, y_*^k)$$

(d) Lösung des Gleichungssystems

Falls  $N$  klein: Cholesky-Verfahren

Falls  $N$  groß: Mehrgitterverfahren ( $\rightarrow$  später)

CG-Verfahren mit Vorbeditionierung

(e) Implementierung in Matlab

Triangulierung: Wird von uns bereitgestellt

Hier: load MyGrids\mygrid 01.mat

$\rightarrow$  EdgesDir, EdgesNen, P, T

$P \in \mathbb{R}^{\bar{N} \times 2}$ ,  $\bar{N}$  Anzahl aller Punkte

$P(k,:) =$  Koordinaten des  $k$ -ten Punktes

$T \in \mathbb{N}^{m \times 3}$  gibt an, welche Punkte zu einem Dreieck gehören

$T(17,:) = [6 \ 10 \ 7] \rightarrow P(6,:), P(10,:), P(7,)$

EdgesDir  $\in \mathbb{R}^{m \times 2}$

Kanten, auf denen Dirichlet-Randbedingungen gesetzt werden

EdgesNew  $\in \mathbb{R}^{m \times 2}$

analog für Neumann-Randbedingungen

In Aufgabe 2: EdgesNew = [] (leere Liste, wird nicht verwendet)

Visualisierung:

trimesh (T, x, y, u)

x, y Koordinaten der Punkte

trisurf (T, x, y, u)

u Werte der Funktion an den Punkten

view(2)  $\rightarrow$  Ansicht „von oben“

Berechnung der Steifigkeitsmatrix und des Lastvektors:

Gehe nicht punktweise vor, sondern dreiecksweise

for k=1:m % m = Anzahl der Dreiecke

Berechne  $\tilde{a}_{ij} = a_{T_k}(\varphi_i^k, \varphi_j^k)$  ,  $i, j = 1, 2, 3$

~~$\tilde{b}_i$~~   $\tilde{b}_i = f(\varphi_i^k)$

und addiere zu den entsprechenden Einträgen hinzu:

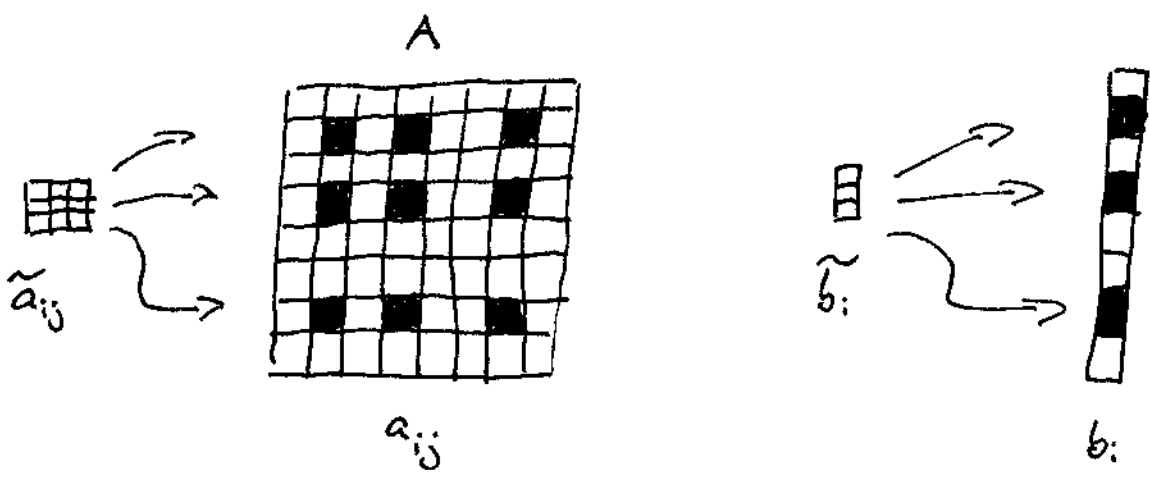
$a_{\psi(i), \psi(j)} = a_{\psi(i), \psi(j)} + \tilde{a}_{ij}$   $i, j = 1, 2, 3$

~~$b_{\psi(i)}$~~

$b_{\psi(i)} = b_{\psi(i)} + \tilde{b}_i$

Dabei ist  $\psi$  die Abbildung vom lokalen auf den globalen Index, d.h.

$\varphi_i^k = \varphi_{\psi(i)}$  ,  $p_i^k = p_{\psi(i)}$



Man kann zuerst die Steifigkeitsmatrix für alle  $\bar{N}$  Punkte aufstellen und dann die Spalten und Zeilen, die zu den  $\tilde{N}$ -N Randpunkten gehören, wieder entfernen.

Kann großer Effizienzverlust, falls  $\bar{N} \approx N$   
 Funktioniert so nur bei homogenen Dirichlet-Randbedingungen

Weitere hilfreiche Befehle: size, length, det, inv, unique, setdiff, ismember, x.\*y, x./z

Approximation des  $L^2$ -Fehlers durch Ausdruck:

~~Sei  $u \in C(\Omega)$~~   $\varepsilon(x,y) := \underbrace{|u(x,y)|}_{\text{exakt}} - \underbrace{u_N(x,y)}_{\text{Approx}} \Big|^2$

$$\|u - u_N\|_{L^2(\Omega)} = \left( \int_{\Omega} \varepsilon(x,y) \, d(x,y) \right)^{1/2} = \left( \sum_{k=1}^m \int_{T_k} \varepsilon(x,y) \, d(x,y) \right)^{1/2}$$

$$\approx \left( \sum_{k=1}^m \frac{|T_k|}{3} \left( \varepsilon(P_1^k) + \varepsilon(P_2^k) + \varepsilon(P_3^k) \right) \right)^{1/2}$$